

## جداسازی اتمهای تشکیل دهنده آلیاژ فولاد ضدزنگ آستینیتیک با تابش الکترون \*

اکرم انسادات حسینی

مرکز تحقیقات هسته‌ای

سازمان انرژی اتمی ایران

### چکیده

در این کار جداسازی عناصر تشکیل دهنده آلیاژ فولاد ضد زنگ Fe-20 Cr-25Ni-Nb در نزدیکی حفره‌های داخلی نقصهای کریستالی از جمله مرز دانه‌ها مطالعه شده است. این بررسی از طریق اندر کنش بین نقصهای کریستالی نقطه‌ای و اتمهای حل شونده در آلیاژ فولاد ضد زنگ و چند آلیاژ مدل آن صورت گرفته است. پرتوودهی قابل مشاهده (*in situ*) توسط الکترون بوسیله میکروسکوپ الکترونی با ولتاژ بالا که اجازه بررسی سریع متغیرهایی چون درجه حرارت و ترکیب شیمیائی آلیاژ و دز (dose) پرتوها را می‌دهد انجام گرفته است. محل پرتوودهی مرز مشترک بین دانه‌های کریستالی بوده است. انرژی الکترونها برابر ۱ MeV و میزان دز آن برابر  $2 \times 10^{-3}$  dpa s<sup>-1</sup> (displacement per atom per second) جابجایی هراتم در ثانیه است. نتایج بدست آمده از آنالیز و درجه حرارت نمونه‌ها بین ۳۵۰°C تا ۴۵۰°C متغیر بود. نتایج بدست آمده از آنالیز شیمیائی میکرونی در دو طرف مرز مشترک بین دانه‌ها یعنی در محلهای پرتوودهی نشان می‌دهد که پدیده جداسازی اتمی ناشی از پرتوودهی (RIS) در تمام درجه حرارت‌ها با بیشترین شدت در ۴۵۰°C روی داده است. بكمک روش‌های EDX و STEM منحنی ترکیب شیمیائی آلیاژها در محلهای پرتوودهی بدست آورده شد که نشان دهنده خالی شدن عنصر کرم و آهن و مولیبدن و افزایش نیکل در محل پرتوودهی بوده است. نتایج فوق نشان دهنده آن است که مرز دانه‌ها بعنوان حفره ترجیحی برای نقصهای کریستالی ایجاد شده ناشی از بیماران عمل کرده است.

\* قسمتی از کار تحقیقی فوق در دانشگاه برمنگهایم کشور انگلستان انجام شده است.

(شکل ۱) برخوردار هستند یعنی هم می‌توانند در خواص جسم تغییراتی بوجود آورند و هم می‌توانند بدون اثر باشند (۱). از جمله مهمترین تغییراتی که اینگونه نواقص نقطه‌ای (تلهی جای و بین جایگاهی) می‌توانند بوجود آورند تغییر ترکیب شیمیائی موضعی بوسیله جابجایی اتمهای از یک نوع توسط جربانی از نقصای نقطه‌ای می‌باشد. نتیجه این جابجا شدن اتمهای امکان ایجاد رسوب و درنتیجه بوجود آمدن فاز جدید در جسم است که دارای خواص کلا "متفاوت با میزان می‌باشد. اگر مقدار زیادی تلهی جای در کنار یکدیگر جمع شوند ایجاد فضای میان خالی (cavity) می‌کنند که منجر به باد کردن و تورم (swelling) ماده می‌گردد. درصد تورم حدود ۳۰٪ و یا بیشتر ممکن است در آلیاژ فولاد ضد زنگ در اثر پرتو بوجود آید. اگر اینگونه فضاهای خالی که در داخل آنها حبابهای گاز مثل هلیم جمع شده باشد در مرزمشترک دو دانه کریستالی واقع شوند منجر به شکنندگی آلیاژ می‌گردد. خرز (creep) ناشی از پرتو نیز در آلیاژها در اثر بمباران با ذرات پر انرژی می‌تواند ایجاد گردد که در نهایت شکل جسم را تغییر می‌دهد. بنابراین برای طراحی آلیاژهایی که در ساختار راکتورهای گداخت (fusion) و شکافت (fission) بکار می‌روند باید توجه کافی در مورد شکنندگی و خوش آلیاژ بعد از پرتو دهی بمدت طولانی نمود و با تنبیهات جزئی در ترکیب شیمیائی آلیاژ آنها را در مقابل این اثرات مقاوم ساخت.

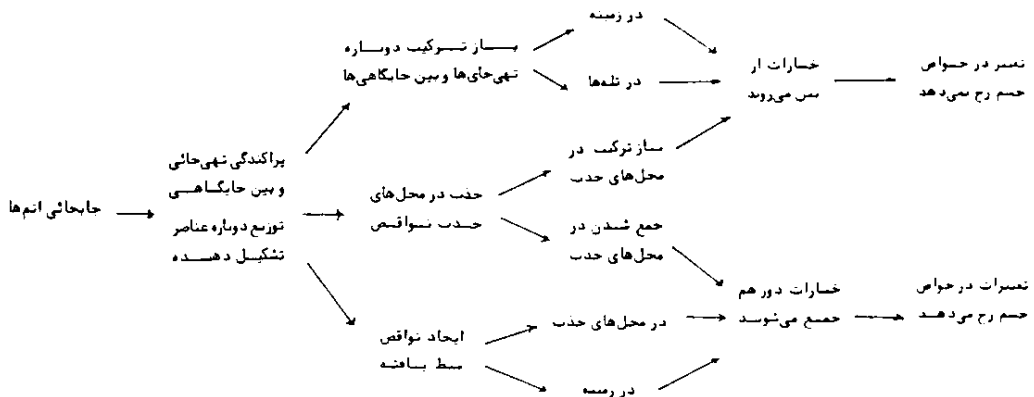
دو فرآیند افزایش نفوذپذیری در اثر پرتو دهی (radiation enhanced diffusion) یا باختصار (RED) و جدائی اتمهای در اثر بمباران (radiation induced segregation) یا باختصار (RIS) از جمله مهمترین رخدادهایی هستند که در طول پرتو دهی روی حضور و توزیع فازهای مختلف در ساختارهای میکرونی آلیاژها تاثیر

## مقدمه

علم در اثر کجکاوی بشر رشد می‌کند اما رشد مواردی مثل مطالعات مربوط به خسارات وارد ناشی از پرتوها در اثر نیاز تکنولوژیکی است. این مطالعات معمولاً "دو هدف اصلی را دنبال می‌کنند: ۱- مشخص کردن و طبقه‌بندی اثرات مربوط به پرتوها و ۲- بمباران اجسام به عنوان وسیلای برای بررسی رفتار مواد. انگیزه این کار جواب به سوالات علمی و رفع نیازهای فنی است. سوالاتی در مورد پایه و اصول علمی اثرات ناشی از پرتو دهی و چگونگی و با مکانیسم تولید نقص‌های کریستالی و اینکد آتا می‌توانیم موادی برای ساختار راکتورهای از نوع شکافت و گداخت طراحی کنیم که در مقابل پرتو دهی مقاوم باشند؟

درک اثرات مربوط به پرتو دهی اجسام با نوترن و ذرات باردار پر انرژی در این میان از اهمیت بیشتری برخوردار است. زیرا اینگونه پرتوها می‌توانند ایجاد اتمهای جابجا شده در شبکه کریستالی و در نتیجه تولید نقص‌های تلهی- جائی (vacancy) و اتمهای میان شبکه‌ای (interstitial) نقطه‌ای (point defects) معمولاً در اثر حرارت می‌توانند حرکت کرده و جای خود را به وسیله پرش با اتمهای همسایه عوض کنند. پرتو دهی روی اجسام سه اثر می‌تواند بگذارد:

۱- تولید خسارت ۲- پویائی واقعه و ایجاد نواقص کریستالی ۳- تغییر خواص. یک ذره پر انرژی در موقع برخورد با جسم می‌تواند انرژی لازم جهت تغییر مکان اتم‌ها (انرژی آستانه) را به آن بدهد که نتیجداً در جابجایی‌های زنجیره‌ای اتم‌های ثانویه دارد. در این مرحله ناحیه‌ای غنی از نواقص کریستالی در محل پرتو دهی بوجود می‌آید. اینگونه نواقص نقطه‌ای از پتانسیل بالقوه‌ای



سکل ۱- سماش نابودی احتمالی نقاطهای تولید شده به وسیله پرتووده

پرتووده که نتیجه درهم کشیده شدن اتمها به طرف چاهکها (sinks) را به همراه دارد را در مقابل تغیرات دانسته نقطه تهی جای مطرح ساخت (عکس پدیده کرکنده در دیفیوژن). مطالعات بعدی توسط اوکاموتو و ایدریش (۲) علاوه بر تائید تئوری آنتونی افزایش حرکت اتمها را در اثر تغیرات دانسته میان شبکهای (interstitials) هم بحساب آورد.

**مرحله جداسازی (segregation process)**  
بمساران با ذرات پرانرژی اتم‌های جسم جامد را تا حد برد ذرات پرانرژی جابجا می‌کند. در درجه حرارت‌های بالا نقاطهای نقطهای شبکه کریستالی متحرك بوده و با بهم پیوستن یا جذب در چاهکبای نقاطهای از بین می‌روند. مهمترین چاهکها عبارتند از مرز مشترک دانه‌های کریستالی جابحائی‌ها، سطوح آزاد و حفره‌ها (voids). در صورت تولید و یا از بین رفتن و یا هر دو اگر

می‌گذرد. در افزایش حرکت نقاطهای در حین پرتووده، رسیدن به تعادل ترمودینامیکی را شتاب می‌دهد در حالیکه این تعادل ممکن است توسط نفوذ پذیری حرارتی در مدت زمانی منطقی ایجاد نشود لیکن فرایند RIS تایل دارد که سیستم را در یک حد موضعی به طرف عدم تعادل ترمودینامیکی هدایت کند و این کار را توسط حریانی از اتمها که منتسبی به خالی شدن عنصری خاص از یک محل و حجم شدن آن در محلی دیگر شود می‌کند. هر دو فرایند در حین بمساران وجود داشته مسابقاتی بین خود می‌کنند.

بعد از کشف (void swelling) بیسٹرکارهای تحقیقاتی در زمینه شناسائی حفره‌ها و جابحائی‌های حلقدای شکل (dislocations loops) و بقیه ساختارهای میکرونی که در اثر پرتووده بوجود می‌آید RIS متوجه گردید تا اینکه در سال ۱۹۷۱ پدیده سرعت آنتونی (۲) گزارش شد. نظریه آنتونی افزایش سرعت حرکت عنصر سریعتر نفوذ کننده را در هنگام

ا.س. حسینی. جداسازی اتمهای آلیاژ فولاد ضد زنگ آستیتیک.

بین دو فلز را (سیم تنگستن) به نسبت انتهای دو سر نمونه حرکت می‌دهد اثر مذکور نشان می‌دهد که در درجه حرارت‌های بالا رونده در جائی که تغییرات ترکیب شیمیائی وجود دارد جریانی از ناقص کریستالی بوجود می‌آید. با همان منطق اگر یک آلیاژ را در حین بیماران با ذرات پرانرژی در درجه حرارت بالا فرض کنیم افزایش دانسیته ناقص ناقصهای که در اثر پرتووده بوجود می‌آید می‌تواند جریانی از اتم‌های تشکیل دهنده آلیاژ را بوجود آورد. شکل ۲ موقعیت تغییرات دانسیته تهی - جای‌ها و میان شبکه‌ای‌ها را در نزدیکی یک چاهک نقصهای نقطه‌ای در یک آلیاژ دو عنصری نشان می‌دهد. تغییرات دانسیته تهی جای‌ها ایجاد جریانی از تهی جای‌ها را بطرف محل چاهک باعث می‌شود. (J<sub>V</sub>) . این جریان به نوبه خود ایجاد جریانی هماندازه از اتم‌ها را در خلاف جهت حرکت تهی - جای‌ها می‌کند و میان شبکه‌ای‌ها را در نزدیکی یک چاهک نقصهای نقطه‌ای در یک آلیاژ دو عنصری نشان می‌دهد . تغییرات دانسیته تهی جای‌ها ایجاد جریانی از تهی جای‌را بطرف محل چاهک می‌کند. (J<sub>V</sub>) این جریان به نوبه خود جریانی هماندازه از اتم‌ها را در خلاف جهت حرکت تهی جای‌ها ایجاد می‌کند (JA+JB) . مطابق شکل ۲ - الف، چون JA و JB حمل و نقل اتم‌های A و B را بد نسبت غلظت‌های اتمی موضعی یعنی CA و CB و ضریب نفوذ آنها یعنی DA و DB به عبارت دارند اگر DA = DB ترکیب شیمیائی آلیاژ در اطراف چاهک تغییر نمی‌کند ولی اگر DA ≠ DB باشد جریان اتم تندتر نفوذ کننده به طرف دور از چاهک بیشتر از درصد آن عنصر در آلیاژ می‌شود . در تبیین مکانیسم عکس اثر کرکنده ایجاد شده نوسط سبی جای‌های خالی همیشه اتحاد خالی سدن اتم تندتر نفوذ کننده

دانسیته ناقص نقطه‌ای در فضای غیر همگن شوند جریانی از ناقص تولید می‌شود . بناءً و تداوم این جریان نیاز به حرکت اتمها دارد . چون اگر یک تهی جای و یا نابجایی بخواهد حرکت کند به اجرار باید جای خود را با اتم همسایه عوض کند بدین - ترتیب اتم همسایه هم حرکت می‌کند ، منتهی در خلاف جهت تهی جایی ولی همجهت با میان شبکه‌ای . همچنین در صورتی که اتم میان شبکه‌ای از نظر اندازه با اتم حل کننده برابر باشد آن را از جایش کننده و خود جای آن می‌نشیند (interstitialcy mechanism) . برای

رخداد پدیده RIS دو شرط اصلی لازم است :

۱- تشکیل مزدوچهایی از اتمها و ناقص نقطه‌ای (soulte - point defect complexes)

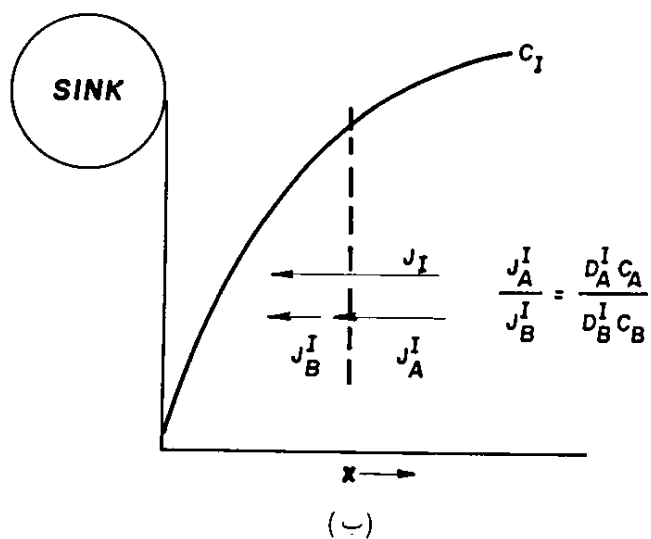
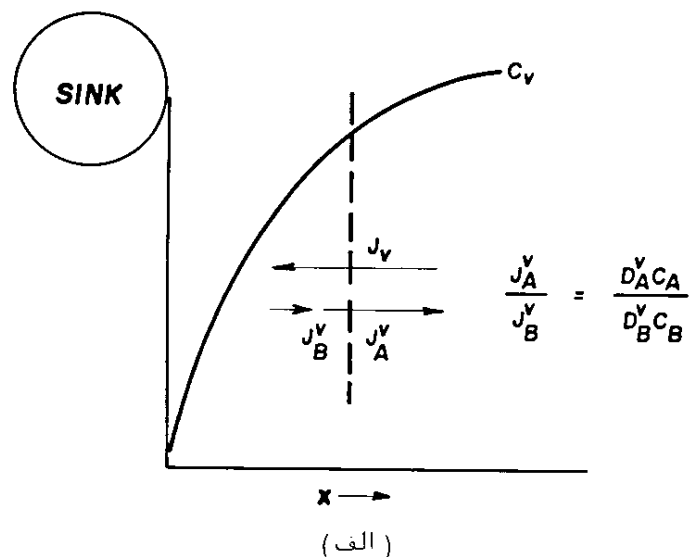
۲- جریانی از ناقص نقطه‌ای به داخل و یا خارج از یک فضای مشخص که متناسب با گذشت زمان تداوم می‌شود (۲) . شرائط برقراری جریانی از ناقص نقطه‌ای را به صورت ریاضی می‌توان به شکل زیر نوشت :

$$(\phi_s \vec{J}_d \cdot \vec{ds}) dt = I_d dt \neq 0$$

جایی که  $\vec{J}$  برابر است با فلاکس ناقص نقطه‌ای نوع  $\vec{l}$  و جزئی از سطح یک مسیر سربسته S می‌باشد . حاصلضرب عددی  $\vec{J} \vec{d} \cdot \vec{ds}$  در نتیجه برابر کل فلاکس نقص نوع  $d$  است که از مقطع واحد سطح وارد ناحیه می‌شود .

عکس اثر کرکنده در دیفیوزن

کرکنده (۴۵) نشان داد که گرم کردن یک کوبیل دیفیوزن دو عنصری (مس و برنج) مرز اصلی



شکل ۲ - نمایش اثر کرکندهای بوجود آمده از طریق:  
الف - شارتی جائی (vacancy flux)  
ب - شارتی جایگاهی (interstitial flux).

ا. سر. حسینی: جداسازی اتمهای آلیاژ فولاد ضد زنگ آستینیک.

اگرچه بستگی بین جهت جداسازی اتم‌ها و اندازه اتم‌ها نشان داده شد و سپس توسط آزمایش‌های فراوان ثابت گردید. بر طبق این اثرا، اتم‌های بزرگتر در آلیاژ اغلب از محل چاهک‌ها (sinks) مهاجرت می‌کنند در حالی که اتم‌های کوچکتر در نزدیکی چاهک‌ها جمع می‌شوند.

اشر درجه حرارت روی RIS

این اثر توسط رن و همکاران (۲) در سال ۱۹۷۹ به اثبات رسید. بر طبق این اثر در درجه حرارت‌های پائین جدا شدن اتمها کم است زیرا تهی جای‌ها حرکت آرامی دارند در نتیجه تهی جای‌های زیادی که در نتیجه بیماران بوجود آمده است تقریباً "ساکن بوده و در نتیجه بهم پیوستن با میان شبکه‌ای‌ها از بین می‌روند. نتیجتاً" حربان اتم‌ها به طرف محل چاهکها کم است و جداسازی اتمی کمتری روی می‌دهد. در درجه حرارت‌های خیلی بالا حرکت تهی جای‌ها و میان شبکه‌ای‌ها خیلی سریع بوده باعث حرکت سریع اتم‌ها و در نتیجه برگشت اتم‌ها (back diffusion) و سرعت زیاد دوباره بهم اتصالی نقص‌های نقطه‌ای می‌شود. به همین جهت مجدداً "جداسازی اتم‌ها کا هش می‌باید. بنابر این بالاترین مقدار جداسازی اتم‌ها در درجه حرارت‌های متوسط اتفاق می‌افتد یعنی در حائی که سرعت دوباره اتصالی تهی جای‌ها و میان شبکه‌ای‌ها به پائین‌ترین حد خود می‌رسند (شکل (۳).

روش آزمایش

در این پژوهش پنج نوع آلیاژ فولاد خد زنگ در فاز آستنیتیک مورد مطالعه قرار گرفته است. این آلیاژها عبارتند از آلیاژ A که نوع تجاری آلیاژ Fe-20 Cr-25 Ni-Nb است که برای ساختن

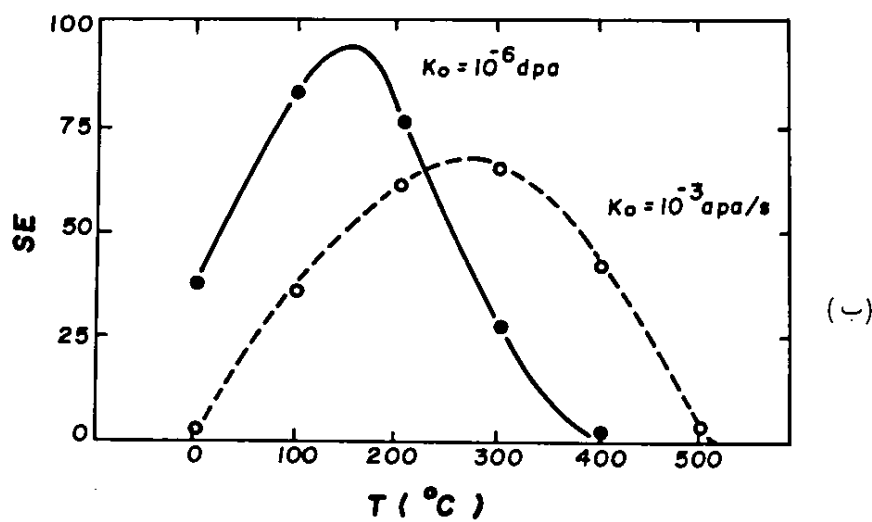
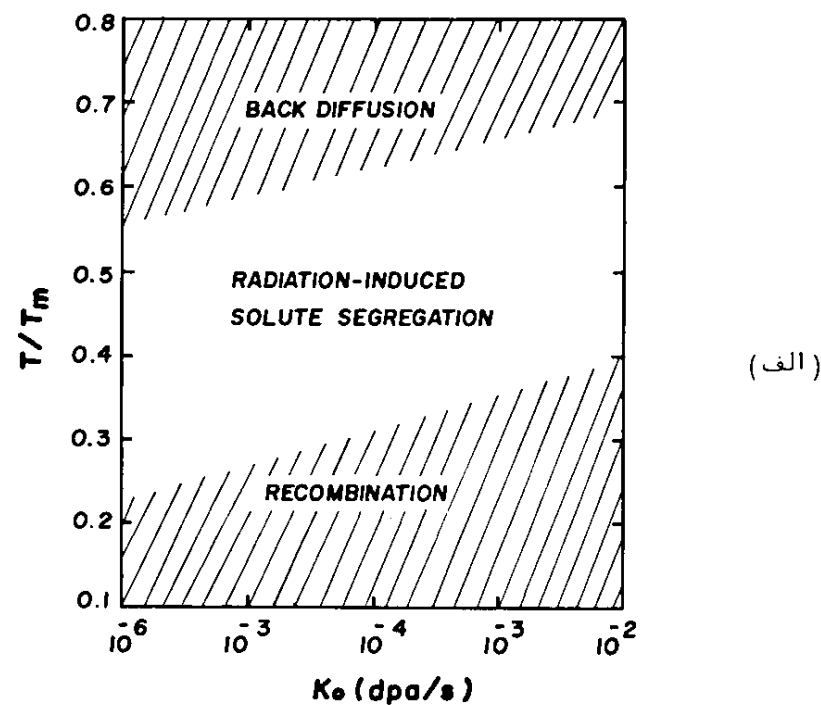
را در نزدیک چاهک باعث می شود. جریانی از میان شبکه ای ها نیز به نوبه خود جریانی از اتم ها ایجاد می کند. در شکل ب - ۲ چون همیشه جریان میان شبکه ای ها و جریان اتم های وا استماش در یک جهت هستند هر اختلاف بین ضریب نفوذ اتم های A و B منجر به حمل و نقل ترجیهی عنصر سریعتر نفوذ - کننده به طرف چاهک می شود.

## مزدوج‌های اتم – نقص نقطه‌ای (defect-solute complexes)

اگر اتمهای حل شونده با تهی جای ها یا میان شبکهای اندرونیشها داشته باشد به نحوی که مزدوج های از نوع solute-defect تشکیل شود این مزدوج ها نیز می توانند علاوه بر عکس اثر کر - کن达尔 موجب جداسازی اتم ها شوند . این مزدوجهای موقتی موثرند که متحرک باشند و شرط تحرک آنها برقراری رابطه مقابل است  $d_{-S}^d + EM > EM$  در رابطه فوق  $d_{-S}^d$  و  $EM$  به ترتیب انرژی بستگی مزدوج اتم نقص ، انرژی مهاجرت نقص و انرژی مهاجرت مزدوج را نشان می دهند . محاسبات نشان می دهد که انرژی بستگی بزرگتر از  $0.2 \text{ eV}$  برای مزدوجهای متحرک مورد نیاز است تا بتوانند مقدار جداسازی اتمی زیادی بوجود آورند . انرژی بستگی در حد فوق در مورد مزدوجهای اتم - تهی - جای کم دیده شده است در حالی که در مورد مزدوجهای اتم میان شبکهای انرژی های در حد بزرگتر از  $0.05 \text{ eV}$  هم به تعداد زیاد گزارش شده است . این گونه مزدوجهها در مورد اتم های کوچکتر در آلبیاز پایدارتر هستند تا در مورد اتم های بزرگتر .

اثر اندازه اتم ها روی RIS

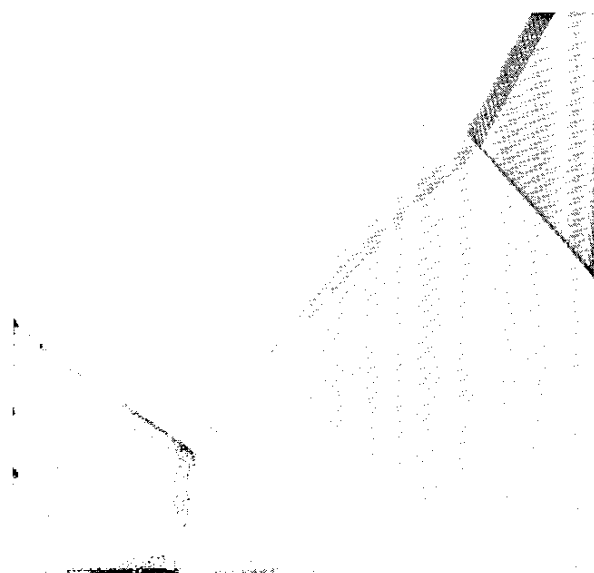
اولین بار توسط اوکاموتو وایدریش (۳۰۶) در سال ۱۹۷۴ حین بمباران آلیاژ Fe-Ni-Cr با ذرات پر



شکل ۳ (الف - ب) - اثر درجه حرارت و سرعت ایجاد خسارت روی مقدار جدائی اتمی.  
الف - تلفیق اثر درجه حرارت و سرعت ایجاد خسارت (dose rate) (b) - مقایسه سرعتهای مختلف ایجاد خسارت ( $K_0$ ) و درجه حرارتی که در آن بیشترین مقدار جدائی اتمی روی می دهد.

سنیاده سائیده شدند . برای یافتن فاز دلخواه در آلیاژها (آستینیتیک) و از بین رفتن جابجایهایی که در اثر کار کردن با نمونهها در آنها ایجاد شده بودند آنها را در کورهای که دارای محفظه خلا، بود در درجه حرارت  $935^{\circ}\text{C}$  درجه برای یک ساعت قرار دادیم . سپس نمونههایی از هر ۵ نوع آلیاژ را صیقل الکتریکی داده تا ضمن نازک شدن ( به نحوی که الکترون را از خود عبور دهند ) سطحی صیقلی نیز پیدا کنند . بعد از حرارت دیدن ساختار میکرونسی تمام آلیاژها توسط میکروسکوپ الکترونی مورد بررسی قرار گرفت که نتایج شان دهنده ساختارهایی خالی از جابجایی‌های کریستالی بود . شکل ۴ شان - دهنده ساختار میکرونسی آلیاژ B است . همانطورکه مشاهده می‌شود ساختار میکرونسی این آلیاژ بعد از حرارت دیدن خالی از هرگونه جابجایی و دارای

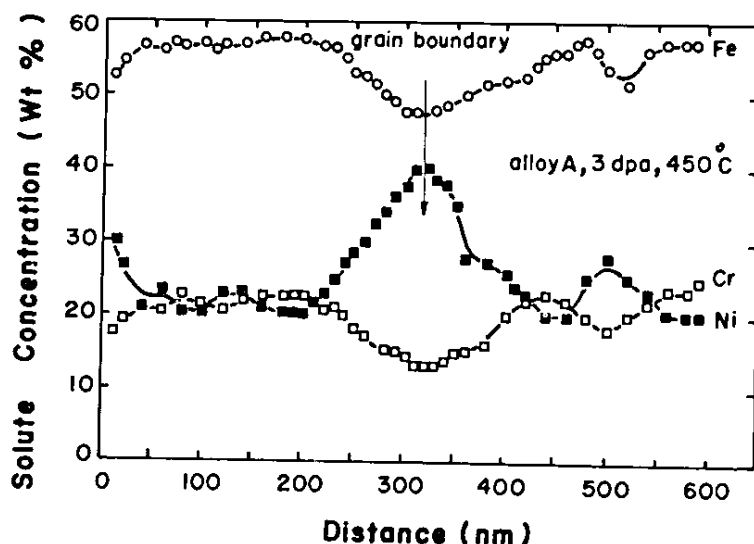
میله‌های سوخت راکتورهای پیشرفته با خنک کننده گازی (advanced gas cooled) مورد استفاده قرار می‌گیرد ، آلیاژ B(Fe-20Cr-25Ni)، آلیاژ D(Fe-20Cr-C(20Cr-25Ni-1Nb)، آلیاژ E(Fe-20Cr-25Ni-Nb-Si) و آلیاژ 1Nb-1Mo) بررسی استعداد هر یک از آلیاژها در مقابل خوردگی مرز مشترک دانه‌ها در هنگام پرتودهی در حرارتی‌های بالا می‌باشد . در ابتدا هر ۵ نوع آلیاژ برای ساختن نمونههای کوچک به قطر ۳ میلی‌متر مناسب برای قرار دادن در میکروسکوپ الکترونی نورد شده تا ضخامت دلخواه را برای انجام عمل صیقل الکتریکی پیدا کنند . سپس توسط ماشین جرقزن (spark machine) ، دیسک‌هایی به قطر ۳ میلی‌متر از نمونه‌ها بیرون آورده و توسط



شکل ۴- ساختار میکرونسی آلیاژ B بعد از درمان حرارتی .

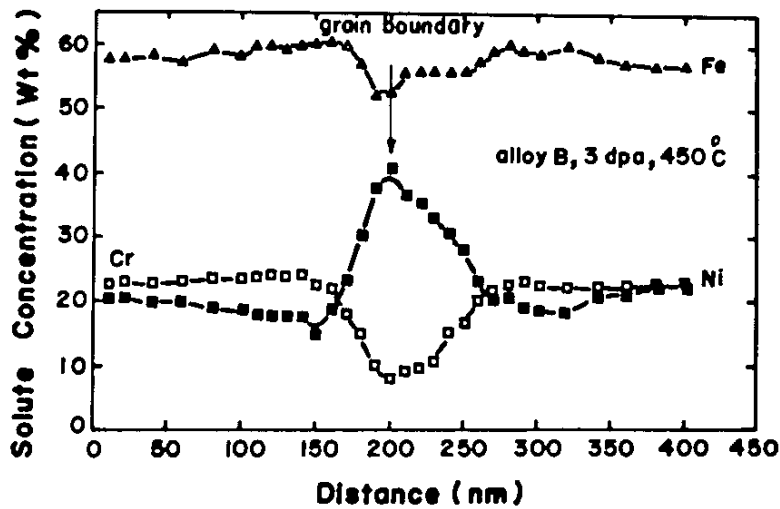
ترتیب، که بیم فشرده الکترون را هر  $20\text{ nm}$  به  $20\text{ nm}$  در محل بمباران متوقف می‌کنیم. همچنین پرتوهای حاصله از برخورد الکترون با اتم‌های آلیاژ بوسیله آشکارساز شمارش شده و توسط روش (energy dispersive X-ray) EDX شمارش‌های مربوط به هر عنصر را بدست می‌آید و بعد از تصحیحاتی که در این زمینه (ZAF corrections) لازم است و با استفاده از یک برنامه کامپیوتری درصد اتمی مربوط به هر عنصر را در هر نقطه بدست می‌آوریم. بدین ترتیب درصد‌های اتمی عناصر تشکیل‌دهنده آلیاژ را در نقاطی به فاصله  $20\text{ nm}$  در دو طرف مرز مشترک دانه‌ها بدست آورده و منحنی تغییرات غلظت هر یک از عناصر تشکیل‌دهنده آلیاژ را رسم می‌کنیم. شکل ۵، ۶، ۸ و ۹ (الف و ب) و (الف و ب) مثال‌هایی از مقایسه نتایج میکروآنالیز شیمیائی در محل پرتودهی که مرز مشترک دانه‌های

مرزهای مشترک بین دانه‌ای و در کل مناسب برای بمباران می‌باشد. مثل پرتودهی نمونه‌ها را در مرز مشترک دانه‌های کریستالی انتخاب می‌کنیم زیرا مرزهای مشترک چاهکیای مناسبی برای جذب نقص‌های نقطه‌ای می‌باشند. انرژی الکترون‌های بمباران کننده  $1\text{ MeV}$  و فلاکس آن برابر:  $8 \times 10^{23} \text{ e/m}^2 \cdot \text{s}$  و سرعت ایجاد تخریب  $2 \times 10^{-3} \text{ dpa s}^{-1}$  بود. در حین بمباران نمونه‌ها را توسط عبور جریان برق از کوره کوچکی که در محل نمونه قرار دارد گرم کرده و قطر باریکه را در حدود  $4\text{ }\mu\text{m}$  میکرومتر تنظیم نموده و بعد از بمباران نمونه‌ها را به میکروسکوپ الکترونی دیگری که انرژی الکترون‌های آن برابر  $100\text{ keV}$  و متصل به دستگاه‌های آنالیز شیمیائی میکروونی می‌باشد منتقل می‌کنیم. سپس محل بمباران را در هر یک از نمونه‌ها توسط روش STEM آنالیز شده بدین –

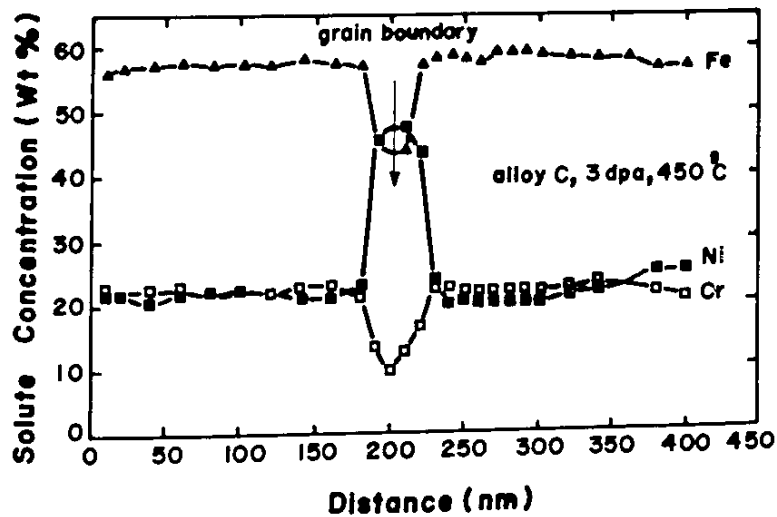


شکل ۵ - نتایج میکروآنالیز شیمیائی در محل پرتودهی مرز مشترک دانه‌های کریستالی آلیاژ A (Fe-20Cr-25Ni) در شرایط پرتودهی با دز  $3\text{ dpa}$  در  $450^\circ\text{C}$ .

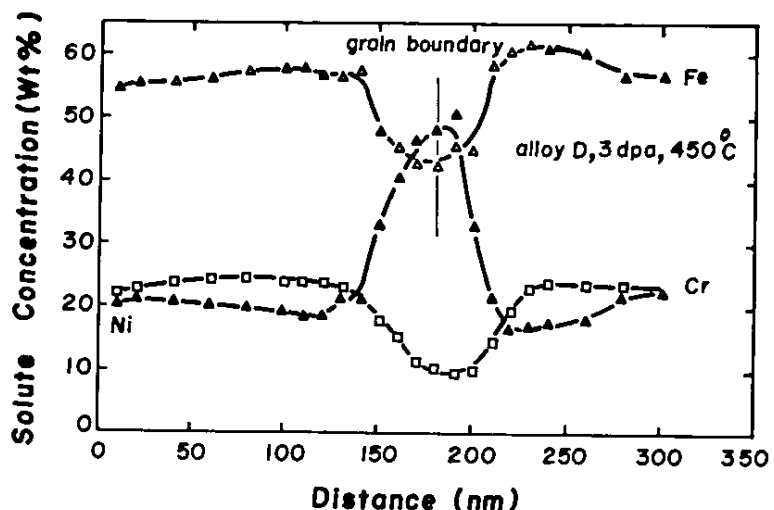
ا. س. حسینی. جداسازی اتمهای آلیاز فولاد ضد زنگ آستینیتیک.



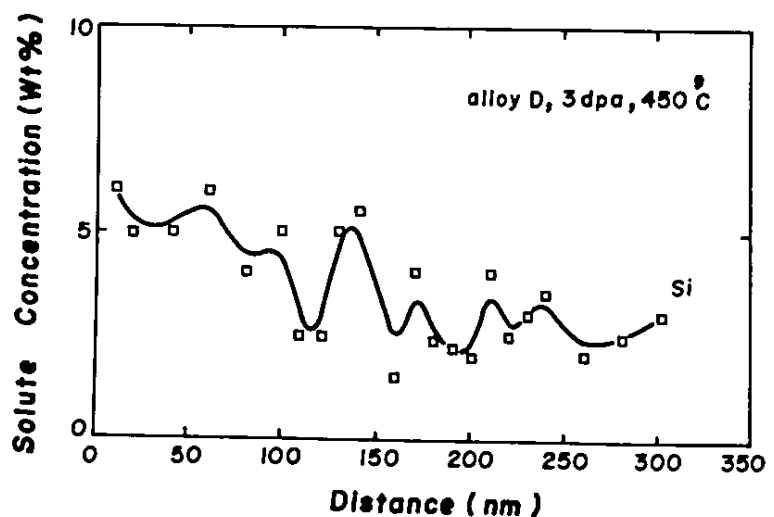
شکل ۶- نتایج میکروآنالیز شیمیائی در محل پرتودهی  
مرز مشترک دانه‌های کریستالی آلیاز B (Fe-20Cr-25Ni)  
در شرایط پرتودهی با  $3 \text{ dpa}$  در  $450^\circ\text{C}$ .



شکل ۷- نتایج میکروآنالیز شیمیائی در محل پرتودهی  
مرز مشترک دانه‌های کریستالی آلیاز C (20Cr-25Ni-1Nb)  
در شرایط پرتودهی با  $3 \text{ dpa}$  در  $450^\circ\text{C}$ .



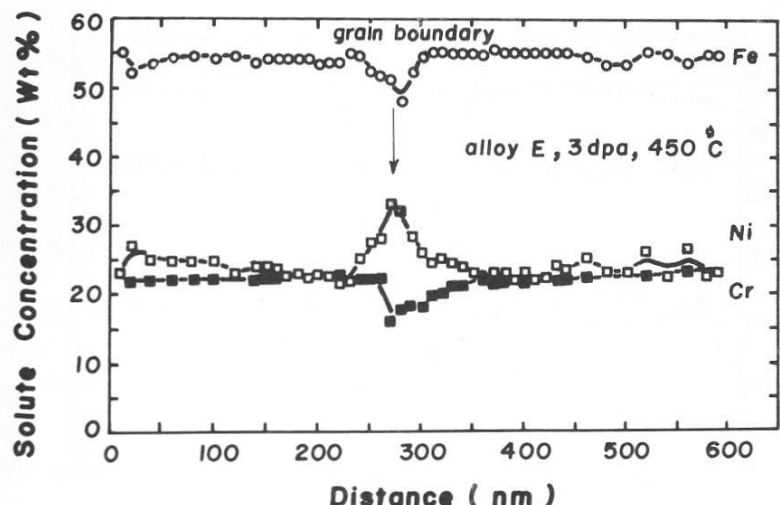
(الف)



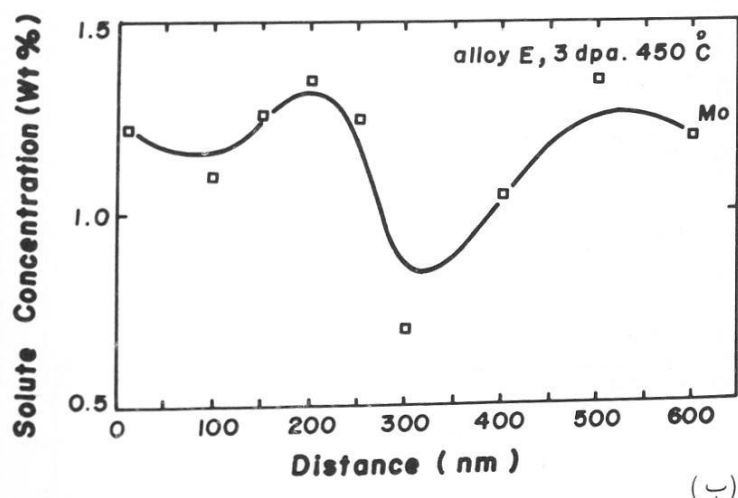
(ب)

شکل ۸ (الف - ب) - نتایج میکروآنالیز شیمیائی در محل پرتودهی مرز مشترک دانه‌های کربیتانی الیار D (Fe-20Cr-25Ni-Nb-Si) در شرایط پرتودهی با  $3 \text{ dpa}$  در  $450^\circ\text{C}$

ا. س. حسینی. جداسازی اتمهای آلیاز فولاد ضد زنگ آستینیک.

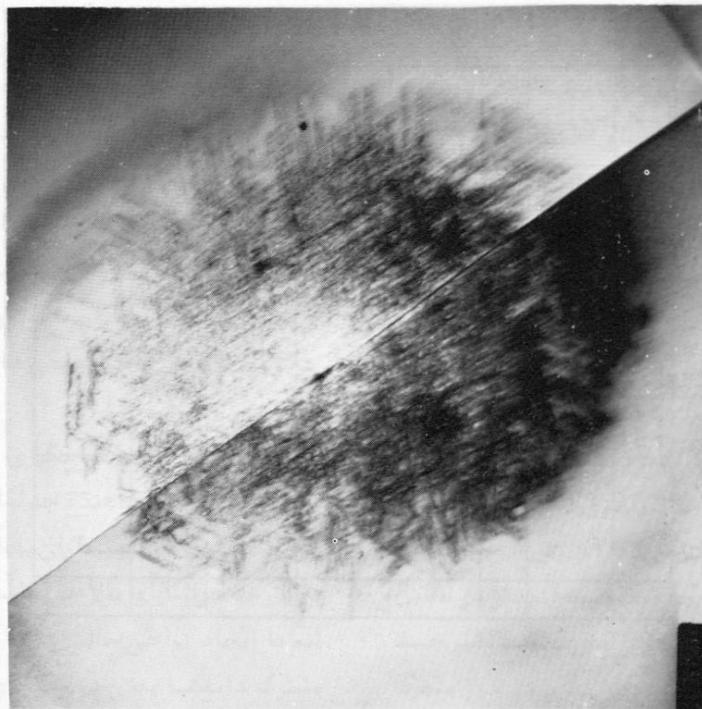


(الف)



(ب)

شکل ۹ (الف - ب) - نتایج میکروآنالیز شیمیایی در محل پرتودهی مرز مشترک دانه‌های کریستالی آلیاز (E) (Fe-20Cr-25Ni-1Nb-1Mo) در شرایط پرتودهای ۳ dpa در ۴۵۰°C.



شکل ۱۰ - محل پرتودهی آلیاژ C با الکترون در شرایط پرتودهی با دز ۱ dpa در  $450^{\circ}\text{C}$ .

(depletion) یا مهاجرت عنصر کرم، آهن و مولیبدن از مرز مشترک دانه‌ها و جمع شدن (enrichment) عنصر نیکل در مرزها، با تفاوت اینکه در درجه حرارت پائین‌تر ( $350^{\circ}\text{C}$ ) عرض محلی که بیشترین مقدار جدایش اتمی روی می‌دهد باریک و در درجه حرارت‌های بالاتر ( $500^{\circ}\text{C}$  و  $450^{\circ}\text{C}$ ) عرض محل جداسازی اتمی افزایش می‌یابد. افزایش و کاهش مقدار عنصر سیلیکون در مجموع در مرز مشترک دانه‌ها مشاهده نشد. بیشترین مقدار جدائی اتم‌ها در درجه حرارت  $450^{\circ}\text{C}$  رخ داد. در اثر افزایش دز منحنی بتدریج وسعت بیشتری در محل مرز مشترک دانه‌ها پیدا می‌کند و میزان خالی شدن عنصر کرم بیشتر می‌شود. نمونه‌هایی از منحنی

کریستالی می‌باشد را در شرایط پرتودهی با دز  $3 \text{ dpa}$  در  $450^{\circ}\text{C}$  به ترتیب برای آلیاژهای A، D، C، B و E نشان می‌دهد. محل بمباران یکی از نمونه‌ها بعنوان مثال در شکل ۶ نشان داده شده است.

#### یافته‌ها

هر پنج نمونه آلیاژ در درجه حرارت‌های  $350^{\circ}\text{C}$ - $600^{\circ}\text{C}$  با الکترون‌های با انرژی  $1 \text{ MeV}$  در مرز مشترک دانه‌ها با دزهای  $1, 3, 10, 20$  و  $70 \text{ dpa}$  بمباران شدند. نتایج بدست آمده در تمام درجه حرارت‌ها و با بکار بردن دزهایی به کمی  $1 \text{ dpa}$  عبارت است از خالی شدن

ا. س. حسینی، جداسازی اتمهای آلیاژ فولاد ضد زنگ آستینیک.

جدول ۱- نتایج آنالیز شیمیایی آلیاژهای مدل و تجاری

آلیاژ	درجه حرارت (°C)	(dpa) دهن	کروم ٪	حداقل میزان کروم ٪	حداکثر مقدار نیکل ٪	عرض ناحیه جدایش (nm)		
						نخله شده از کروم نیکل ٪	غیر شده از کروم نیکل ٪	با کرومیم کنتر ار ۱۲٪ وزنی
A آلیاژ	۳۵۰	۷/۲	۱۵/۲۵	۳۹/۷۵	۵۰	۶۰	—	—
A آلیاژ	۴۰۰	۷/۲	۱۶/۵	۴۲	۵۰	۸۰	—	—
A آلیاژ	۴۵۰	۹/۶	۱۶	۴۲	۴۰	۴۰	—	—
		۱/۸	۱۶	۳۳/۷۵	۶۰	۶۰	—	—
		۷/۵	۱۷/۵	۳۹/۵	۷۰۰	۷۰۰	—	—
B آلیاژ	۴۵۰	۷/۶	۸/۲۵	۴۵	۱۹۰	۱۹۰	۷۰	—
C آلیاژ	—	۷/۶	۹/۵	۴۷	۸۰	۷۰	۴۰	—
D آلیاژ	—	۷/۶	۹	۵۰	۹۰	۹۰	۵۰	—
E آلیاژ	—	۷/۶	۱۷/۵	۴۲	۱۴۰	۱۴۰	—	—
A آلیاژ	۵۰۰	۷/۲	۱۷/۵	۴۲/۵	۷۰	۷۰	—	—
B آلیاژ	—	—	۱۷	۷۶	۷۰	۷۰	—	—
C آلیاژ	—	—	۱۶/۵	۳۴/۷۵	۱۰۰	۱۰۰	—	—
D آلیاژ	—	—	۱۰/۷۵	۴۴/۵	۶۰	۶۰	۳۰	—
E آلیاژ	—	—	۱۸	۳۰/۷۵	۷۰	۷۰	—	—
B آلیاژ	۵۵۰	—	۱۰	۷۸	۱۶۰	۱۶۰	۵۰	—

حرارت‌های پائین تر از  $350^{\circ}\text{C}$  به علت بالا بودن نسبت بهم اتصالی ناقص نقطه‌ای است ولی در درجه حرارت بالاتر مثل  $450^{\circ}\text{C}$   $450^{\circ}\text{C}$  عرض ناحیه جدایی اتم‌ها حتی نا  $100\text{ nm}$  در دو طرف مرز مشترک دانده‌ها افزایش می‌یابد که این به علت افزایش در حرکت ناقص نقطه‌ای شبکه می‌باشد.

اثر ترکیب شیمیایی آلیاژ روی جدائی اتم‌ها اگر منحنی ترکیب شیمیایی آلیاژ تجاری (آلیاژ A) و آلیاژهای مدل را مقایسه کنیم (جدول ۱) متوجه مقدار بیشتر جداسازی عنصر در آلیاژهای مدل بخصوص B، C، D مقدار کمتری در آلیاژ E می‌شود. در آلیاژهای مدل مقدار وزنی عنصر کرم در مرز مشترک دانده‌ها حتی نا  $8\%$  درصد وزنی هم پائین می‌آید. مطالعات نشان داده است که اگر درصد وزنی عنصر کرم در مرز مشترک دانده‌ها از  $12\%$  پائین تر

ترکیب شیمیایی در محل بمباران در آلیاژهای مختلف در شکل ۵ دیده می‌شود.

#### بحث

جهت جداسازی اتم‌های اکتریت مثل کرم و نیکل و آهن که در این کار دیده شد موافق جهت نتایج گزارش شده در مورد بمباران آلیاژ Fe-20Cr-25Ni-1Nb توسط نوترون‌های پرانرژی است (۸). حالی شدن مولیبدن نیز موافق با تجربیات قبلی است. ولی عدم جداسازی سیلیکون (Si) قابل تعمق است زیرا جداسازی عنصر سیلیکون در مورد بمباران نوترونی آلیاژ Fe-12 Cr-15Ni-1Si و همچنین در بمباران آلیاژهای دیگر مثل Ni-Si به ترتیب بطرف مرز مشترک دانده‌ها و سطوح آزاد گزارش شده است (۹). علت پائین بودن مقادیر جداسازی اتمی در درجه

راکتور حرارتی برابر  $1 \times 10^{-5}$  dap.s است. تجربیات و محاسبات نشان داده است که جداسازی اتم‌ها به شدت به سرعت ایجاد خسارت و درجه حرارت‌های پائین در مقابل تنیدی ذرهای پائین دیده می‌شود (شکل ۳). مطابق شکل اخیر اثرات بمباران با الکترون توسط میکروسکوپ الکترونی با ولتاژ بالا را می‌توان با اثرات بمباران با نوترون حرارتی در درجه حرارت  $100^{\circ}\text{C}$  پائین‌تر یکی دانست.

#### نتیجه‌گیری

نتایج فوق نشان دهنده جداسازی اتم‌های آلیاژ فولاد ضد زنگ در اثر بمباران با الکترون‌های پر انرژی در درجه حرارت‌های بالا می‌باشد. نتیجه جدائی اتم‌ها ایجاد نواحی خالی شده از عنصر کرم در مرز مشترک دانه‌ها یعنی در محلهای بمباران است که منجر به مستعد شدن آلیاژ در مقابل خوردگی می‌شود. نتیجه بخصوص کار فوق این است که ساختار میکرونی مستعد به خوردگی در مرز مشترک دانه‌ها بعد از پرتودهی آلیاژها در درجه حرارت‌های بالاتر ( $450^{\circ}\text{C}$  و  $500^{\circ}\text{C}$ ) دیده می‌شود و نه در درجه حرارت‌های پائین‌تر ( $350^{\circ}\text{C}$  و  $400^{\circ}\text{C}$ ) ایجاد می‌گردد. آلیاژ تجاری A در درجه حرارت‌های  $450^{\circ}\text{C}$  و  $500^{\circ}\text{C}$  و با ذرهای بالاتر از  $3\text{ dpa}$  مستعد خوردگی می‌شود در صورتی که آلیاژهای B، C و D در ذرهای پائین‌تر نیز مستعد می‌شوند. لیکن ساختار میکرونی مستعد به خوردگی در آلیاژ E بعد از پرتو-دهی در درجه حرارت‌های مختلف با ذرهای بالاتر از  $3\text{ dpa}$  مشاهده نشد.

باید مسئله خوردگی مرز مشترک دانه‌ها شدیداً "آلیاژ را تهدید می‌کند. در نتیجه مطابق نتایج بدست آمده عدم حضور اتم‌های اقلیت مثل Si، Nb و Mo در آلیاژ B امکان بررسی خوردگی مرز مشترک دانه‌های کریستالی آلیاژ B را بوجود می‌آورد. افزایش عنصر سیلیکون به آلیاژ نیز ساعث افزایش جداسازی عناصر اکتریت می‌شود در صورتی که افزایش عنصر مولیبدن به آلیاژ B ساعث کاهش جداسازی عناصر اکتریت بخصوص کرم شده شانس خوردگی را در مرزهای مشترک دانه‌ها کمتر می‌سازد. بعلاوه چون Mo از جمله عناصری است که خود در مقابل خوردگی مقاومت می‌کند افزایش این عنصر به آلیاژ به پائین بردن حد حساسیت آلیاژ در مقابل خوردگی کمک می‌کند به این صورت که اگر حد پائین بودن درصد وزنی عنصر کرم در مرز مشترک دانه‌ها برای مستعد بودن به خوردگی پائین‌تر از  $12\%$  است. در آلیاژی کمقدار یک درصد مولیبدن به آن اضافه شده این حد تا  $11\%$  درصد هم می‌تواند پائین آید یعنی آلیاژ E تا حد  $Cr<11\text{ wt\%}$  در مقابل خوردگی مرز مشترک دانه‌ای مقاومت می‌کند.

#### مقایسه نتایج این کار با پرتودهی نوترونی

##### آلیاژ Fe-20Cr-25Ni-Nb

برای مقایسه نتایج این کار با نتایج بمباران آلیاژ با نوترون باید متوجه اثر سرعت ایجاد خسارت روی جداسازی اتم‌ها باشیم. زیرا تنیدی ذرهای موجود در میکروسکوپ الکترونی با ولتاژ بالا در حدود  $1 \times 10^{-3}$  dap.s می‌باشد در صورتی که در یک

ا. س. حسینی. جداسازی اتمهای آلیز فولاد خد زنگ آستینیک.

## References

1. L.K. Mansur and H.H. Yoo, "The Effect of Impurity Trapping on Irradiation-Induced Swelling and Creep", Journal of Nuclear Materials 74, 228 (1978).
2. T.R. Anthony, Radiation-Induced Voids in Metals, Eds. J.W. Corbett and L.C. Lannellor, USAEC Symposium Series 26, 630 (1961).
3. P.R. Okamoto and H. Widersich, "Segregation of Alloying Elements to Free Surfaces During Irradiation" J. Nucl. Material 53, 336 (1974).
4. J.R. Manning, "Diffusion and the Kirkendall Shift in Binary Alloys", Acta Metallurgica 15, 817 (1967).
5. J.R. Manning, Diffusion Kinetics for Atoms in Crystals, D. Van Nostrand, N.J. Princeton (1968).
6. H. Widersich, P.R. Okamoto and N.Q. Lam, Radiation Effects in Breeder Reactor Structure Materials, Ed. Bleiberry et al., Met. Soc. of A.I.M.E, 801 (1977).
7. P.R. Rehn, P.R. Okamoto and H. Widersich, J. Nucl. Material 80, 172 (1979).
8. T.M. Williams R.M. Booth and J.M. Tichmarch, J. Nucl. Material, 293 (1986).
9. L.E. Rehn, P.R. Okamoto, D.I. Potter and Widersich, "Effect of Solute Misfit and Temperature on Irradiation-Induced Segregation in Binary Ni Alloys" J. Nucl. Material 74, 242 (1978).

## ELECTRON IRRADIATION INDUCED SOLUTE SEGREGATION NEAR GRAIN BOUNDARIES IN AUSTENITIC STAINLESS STEEL

A.A. Hosseini

Nuclear Material Group  
Atomic Energy Organization of Iran

### Abstract

Radiation-induced solute segregation near internal defect sinks such as high angle grain boundaries was investigated, through the interaction between point defects and solute atoms in austenitic stainless steel and its model alloys. Electron irradiation was performed in a high voltage electron microscope (HVEM) at a dose rate of about  $2 \times 10^{-3}$  dpa.S<sup>-1</sup> at a temperature range of 350-600 °C.

Solute concentration profile near grain boundaries was measured by EDX in STEM mode. Strong enrichment and depletion of solutes were observed on grain boundaries during irradiation and the segregation rate went through a maximum at 450 °C. These facts indicate that grain boundaries act as preferential sinks for radiation-induced point defects.